

## ΑΝΑΚΟΙΝΩΣΕΙΣ ΜΗ ΜΕΛΩΝ

**ΓΕΩΛΟΓΙΑ.** — **Νεώτεραι** ἔρευναι ἐπὶ τῆς συστάσεως τῶν κοιτασμάτων τῆς **Κασσάνδρας**, ὑπὸ **Μιχαὴλ Νικολάου** \*. Ἀνεκοινώθη ὑπὸ τοῦ Ἀκαδημαϊκοῦ κ. Ἰωάν. Τρικκαλινοῦ.

## Ε Ι Σ Α Γ Ω Γ Η

Εἰς προγενεστέρας ἔργασίας (**10, 12, 11**) δίδεται μία, κατὰ τὸ δυνατόν, πλήρης περιγραφὴ τῶν γεωλογικῶν, πετρογραφικῶν καὶ κοιτασματολογικῶν συνθηκῶν, αἵτινες χαρακτηρίζουν τὰ μεταλλοφόρα κοιτάσματα τῶν ἐν τῇ Ἀνατολικῇ Χαλκιδικῇ καὶ παρὰ τὸ χωρίον Στρατονίκη εὑρισκομένων Μεταλλείων Κασσάνδρας.

Τὰ κοιτάσματα ταῦτα παρουσιάζουν στενοτάτην γενετικὴν σχέσιν μετὰ ἀπλιτικῶν διεισδύσεων, αἵτινες ἐκπορεύονται ἐκ τῆς γρανιτικῆς μάζης, ἥ δποίᾳ ἀναπτύσσεται εἰς τὴν μεταξὺ τῶν χωρίων Στρατωνίου καὶ Ὁλυμπιάδος περιοχήν.

Ἡ γρανιτικὴ αὕτη μᾶζα συνίσταται, κυρίως, ἀφ' ἐνὸς μὲν ἐκ τοῦ γρανοδιορίτου τοῦ Στρατωνίου, ἀφ' ἐτέρου δὲ ἐκ τοῦ σχιστώδους γρανοδιορίτου - γρανίτου, δστις δίδει τὴν ἐντύπωσιν, δτι ἀποτελεῖ τὴν φάσιν παρυφῆς τῆς πλουτωνίου ταύτης μάζης (**12**).

Ἡ ὁρυκτολογικὴ σύστασις τοῦ μεταλλεύματος τῶν ἐν λόγῳ κοιτασμάτων, ὡς καὶ ὁ ἴστος τούτου, ἔχει ἥδη μελετηθῆ (**11**).

Ἡ ἐπέκτασις, ὅμως, τῆς ἐκμεταλλεύσεως εἰς νέα τμήματα τούτων καθιστᾶ ἀναγκαίαν τὴν συνεχῆ λῆψιν δειγμάτων μεταλλεύματος καὶ τὴν ἔξέτασιν αὐτῶν ὑπὸ τὸ μικροσκόπιον, ὃστε νὰ καταστῇ ἀμέσως ἀντιληπτὴ οἰαδήποτε μεταβολὴ τῆς ὁρυκτολογικῆς συστάσεως τούτου.

Κατὰ τὴν ἔξέτασιν τοιούτων δειγμάτων μεταλλεύματος, προερχομένων ἐκ τοῦ κοιτάσματος Μαδὲμ - Λάκκου, ἐσημειώθη ἡ παρουσία νέων τινῶν διὰ τὸ κοίτασμα ὁρυκτῶν. Μία λεπτομερεστέρα περιγραφὴ ἐνὸς ἐκάστου τῶν ὁρυκτῶν τούτων δίδεται κατωτέρω.

**Πυραργυρίτης** ( $Ag_3SbS_3$ ).

Ἡ ὑψηλή, σχετικῶς, περιεκτικότης εἰς ἀργυρον τοῦ συμπυκνώματος γαληνίτου τῶν Μεταλλείων Κασσάνδρας ἀπεδίδετο ἀφ' ἐνὸς μὲν εἰς τὴν παρουσίαν

\* MICHAEL NICOLAOU, Recent Research on the Composition of the Kassandra Mines Orebodies.

μικρῶν ποσοτήτων ἀργύρου ἐντὸς τοῦ πλέγματος τοῦ γαληνίτου, ἀφ' ἑτέρου δὲ εἰς τὴν συμμετοχὴν ἀργυρούχων τινῶν ὁρυκτῶν, ὡς τοῦ τενναντίτου καὶ τοῦ βουρνονίτου, εἰς τὴν σύνθεσιν τοῦ μεταλλεύματος.

Προσφάτως, ὅμως, ἐπεσημάνθη καὶ ἡ παρουσία ἐνὸς ὁρυκτοῦ τοῦ ἀργύρου, τοῦ πυραργυρίτου.

Τὸ ὁρυκτὸν τοῦτο ἀνευρέθη εἰς στιλπνὰς τομάς (Εἰκ. 3), κατασκευασθείσας ἐκ δειγμάτων προερχομένων ἐκ τῶν μεταλλευτικῶν ἐργασιῶν τοῦ ἐπιπέδου 125.

Συναντᾶται, κυρίως, ὑπὸ τὴν μορφὴν ἐγκλεισμάτων, ἡ διάμετρος τῶν ὅποιων δὲν ὑπερβαίνει συνήθως τὰ 100 μ. ἐντὸς τοῦ γαληνίτου, ἢ εἰς τὴν ἐπαφὴν τοῦ ὁρυκτοῦ τούτου μετ' ἄλλων θειούχων ὁρυκτῶν, ὡς τοῦ σιδηροπυρίτου, τενναντίτου, σελιγμανίτου, ἐναργίτου.

Τὸ χρῶμα τοῦ πυραργυρίτου ὑπὸ τὸ μικροσκόπιον εἶναι ἀνοικτὸν κυανοῦν. Ὁ παρατηρηθεὶς πλεοχρωϊσμός του εἶναι λίαν ἀσθενῆς, ἡ δὲ ἀνισοτροπία του ἔντονος, καλυπτομένη, ὅμως, ὑπὸ ἴσχυρῶν ἐσωτερικῶν ἀνακλάσεων αἰματερύθρου ἀποχρώσεως.

Ἡ ἀνακλαστικὴ ἵκανότης τοῦ ὁρυκτοῦ διὰ τὸ λευκὸν φῶς, μετρηθεῖσα διὰ φωτοκυττάρου, εὑρέθη κυμαινομένη μεταξὺ 28,6 %, καὶ 29,8 %, ἡ δὲ μικροσκληρότης τούτου, μετρηθεῖσα κατὰ τὴν μέθοδον VICKERS, εὑρέθη 64 - 122 εἰς φορτίον 50 g.

Τὰ ἀποτελέσματα τῆς ἀκτινογραφικῆς ἀναλύσεως τοῦ μελετηθέντος ὁρυκτοῦ, ὡς καὶ αἱ ὑπὸ τῆς A.S.T.M.<sup>1</sup> διδόμεναι τιμαὶ διὰ τὸν πυραργυρίτην ἀναφέρονται εἰς τὸν Πίν. 1.

Ἐπίσης, μία ποιοτικὴ ἀνάλυσις τοῦ ὁρυκτοῦ τούτου ἐγένετο δι' ἡλεκτρονικοῦ ἀναλυτοῦ (Electron Probe Microanalyser).

#### Σελιγμανίτης (PbCuAsS3).

Δύναται νὰ λεχθῇ, ὅτι ἡ παρουσία τοῦ ὁρυκτοῦ τούτου εἰς τὰ κοιτάσματα τῶν Μεταλλείων Κασσάνδρας ἀνεμένετο, καθ' ὃσον τοῦτο εἶναι ἴσομορφον πρὸς τὸν βουρνονίτην (6), τοῦ ὅποιου ἡ παρουσία ἔχει ἥδη σημειωθῆ ἀπὸ τοῦ 1963.

Τὸ χρῶμα τοῦ σελιγμανίτου ὑπὸ τὸ μικροσκόπιον εἶναι λευκὸν ἔως λευκότεφρον μὲ ἐλαφρῶς φοδίνην χροιάν. Ὁ πλεοχρωϊσμός του εἶναι ἀσθενέστατος, ἔχει, ὅμως, εὐδιάκριτον ἀνισοτροπίαν. Τὸ ὁρυκτὸν τοῦτο ἐμφανίζεται κυρίως ὑπὸ τὴν μορφὴν μικρῶν ἐγκλεισμάτων ἐντὸς τοῦ γαληνίτου ἢ εἰς τὴν ἐπαφὴν τούτου

1. (American Society for testing materials).

## Π Ι Ν Α Ζ 1

Αποτελέσματα ἀκτινογραφικῆς ἀναλύσεως  
πυραργυρίτου

Πυραργυρίτης A.S.T.M.		Πυραργυρίτης Κασσάνδρας	
dA°	I	dA°	I
3.36	70	3.38	60
3.21	90	3.19	90
2.80	100	2.77	100
2.56	90	2.55	90
2.26	50	2.25	25
2.12	50	2.105	40
2.00	50	1.975	70
1.964	50	1.92	50
1.869	50	1.85	30
1.754	50	1.725	30
1.683	50	1.67	20
1.603	50	1.595	20
1.533	30	1.525	10
1.461	20		
1.405	30		
1.353	20		
1.265	50	1.23	30
1.212	20		

μετ' ἄλλων θειούχων ὁρυκτῶν, συνήθως δὲ σχηματίζει δακτύλιον ἀντιδράσεως μεταξὺ τοῦ τενναντίτου καὶ τοῦ γαληνίτου. Εἰς τὸν Πίν. 2 δίδονται τὰ ἀποτελέσματα τῆς ἀκτινογραφικῆς ἀναλύσεως τοῦ ὁρυκτοῦ τούτου, ὡς καὶ αἱ τιμαί, αἱ διδόμεναι ὑπὸ τῆς A.S.T.M. διὰ τὸν σελιγμαννίτην.

Μία ἔξετασις τοῦ ὁρυκτοῦ τούτου ἐγένετο, ἐπίσης, διὰ τοῦ ἡλεκτρονικοῦ ἀναλυτοῦ. Κατὰ τὴν ἔξετασιν ταύτην, πέραν τῶν στοιχείων Pb, Cu, As καὶ S, ἐσημειώθη καὶ ἡ παρουσία Sb, εἰς λίαν περιωρισμένην, ὅμως, ἀναλογίαν.

Δυνάμεθα, συνεπῶς, νὰ συμπεράνωμεν, ὅτι τὸ ἔξετασθὲν ὁρυκτὸν δὲν ἀπο-

Π Ι Ν Α Ξ 2  
 'Αποτελέσματα άκτινογραφικής άναλύσεως σελιγμαννίτου

Σ ε λι γ μ α ν ν ί τ η σ A.S.T.M.		Σ ε λι γ μ α ν ν ί τ η σ Κασσάνδρας	
dA°	I	dA°	I
5.80	40	5.80	40
4.75	20	4.73	30
4.35	60		
4.10	40	4.10	40
3.85	90	3.83	90
3.66	60	3.65	30
3.25	60	2.20	40
2.95	60	2.95	40
2.90	30	2.86	20
2.82	40	2.78	40
2.72	100	2.70	100
2.65	60	2.63	40
2.57	80	2.55	50
2.36	60	2.325	30
2.28	30		
2.23	30	2.20	10
2.16	30		
2.09	40	2.09	10
1.97	40	1.965	30
1.94	40	1.91	20
1.84	60	1.835	30
1.77	80	1.745	40
1.73	20	1.71	10
1.66	60	1.65	30
1.64	60	1.64	20
1.59	20		
1.55	60	1.525	20
1.50	20		
1.48	20		
1.45	20	1.42	30

τελεῖ ἀκραῖον μέλος τῆς ἴσομόρφου σειρᾶς βουρβονίτου - σελιγμαννίτου, εὑρίσκεται, ὅμως, πλησιέστατα πρὸς τὸ ἀρσενικοῦχον ἄκρον αὐτῆς.

Ἡ ἀνακλαστικὴ ἵκανότης τοῦ ὀρυκτοῦ διὰ τὸ λευκὸν φῶς, μετρηθεῖσα διὰ φωτοκυττάρου, εὑρέθη κυμαινομένη μεταξὺ 33,4 %, καὶ 34,8 %, ἡ δὲ μικροσκοληγόρτης του, κατὰ VICKERS, εὑρέθη 185 - 215 εἰς φορτίον 50 g.

#### Ἐναργίτης ( $Cu_3AsS_4$ ).

Ἡ παρουσία τοῦ ὀρυκτοῦ τούτου ἐπεσημάνθη εἰς στιλπνὰς τομὰς δειγμάτων, προερχομένων ἐκ τῶν ὑπογείων ἐργασιῶν τοῦ ἐπιπέδου 125.

Τὸ χρῶμα τοῦ ἐναργίτου ὑπὸ τὸ μικροσκόπιον εἶναι φοδότεφρον ἢ ἀνοικτὸν φοδόφραιον. Ἐχει εὑδιάκριτον πλεοχρωϊσμὸν καὶ ἔντονον ἀνισοτροπίαν. Εὑρίσκεται, συνήθως, ὑπὸ τὴν μορφὴν μικρῶν ἐγκλεισμάτων ἐντὸς τοῦ γαληνίτου, συχνότατα ἐν ἐπαφῇ μετ' ἄλλων θειούχων ὀρυκτῶν, κυρίως τενναντίτου, πυραργυρίτου, χαλκοπυρίτου ἢ σελιγμαννίτου. ᩙ ἀνακλαστικὴ ἵκανότης τοῦ ἐξετασθέντος ὀρυκτοῦ διὰ τὸ λευκὸν φῶς, μετρηθεῖσα διὰ φωτοκυττάρου, εὑρέθη κυμαινομένη μεταξὺ 26,5 %, καὶ 29 %, ἡ δὲ μικροσκοληγόρτης του, κατὰ VICKERS, εὑρέθη 143 - 338 εἰς φορτίον 50 g.

Οἱ Πίν. 3 δίδει τὰ ἀποτελέσματα τῆς ἀκτινογραφικῆς ἀναλύσεως τοῦ ἐναργίτου Κασσάνδρας, ὧς καὶ τὰς τιμὰς τὰς παρεχομένας διὰ τὸ ὀρυκτὸν τοῦτο ὑπὸ τῶν BERRY καὶ THOMPSON (2).

Αἱ διαφοραί, αἵτινες παρατηροῦνται μεταξὺ τῶν δύο τούτων ἀκτινογραφημάτων, ὥθησαν εἰς μίαν διεξοδικὴν μελέτην τοῦ ἐναργίτου τῆς Κασσάνδρας διὰ τοῦ ἡλεκτρονικοῦ ἀναλυτοῦ. Οὕτως, εὑρέθη ὅτι ἡ χημικὴ σύνθεσις αὐτοῦ εἶναι ἡ ἀκόλουθος :

$$As = 17,1 \%$$

$$S = 32,5 \%$$

$$Cu = 50,9 \%$$

Ἡ συγκέντρωσις τοῦ Sb εἰς τὸν μελετηθέντας κόκκους τοῦ ὀρυκτοῦ ἦτο πρακτικῶς ἀμελητέα. Εἶναι, ὅμως, ἐμφανὲς ὅτι ἡ εἰς Cu περιεκτικότης τούτου εἶναι κατά τι ὑψηλοτέρα ἀπὸ τὴν διδομένην εἰς τὴν βιβλιογραφίαν (5) διὰ τὸν ἐναργίτην. Ὁπωσδήποτε, μία μικρὰ διακύμανσις τῆς χημικῆς συνθέσεως τοῦ ἐναργίτου ἀπὸ θέσεως εἰς θέσιν ἐντὸς τοῦ κοιτάσματος εἶναι ἐνδεχόμενον νὰ ὑφίσταται.

#### Βισμουθίνης ( $Bi_2S_3$ ).

Ὑπὸ τοῦ NEUBAUER (10) σημειοῦται ἡ παρουσία ἴχνῶν βισμουθίνου εἰς τὴν «ὅζαν» τοῦ κοιτάσματος τοῦ Μαδέμ - Λάκκου, δὲν παρέχει, ὅμως, ὁ συγγρα-

## Π Ι Ν Α Ξ 3

'Αποτελέσματα άκτινογραφικής άναλυσεως ἐναργίτου

'Εναργίτης Berry and Thompson		'Εναργίτης Κασσάνδρας	
dA°	I	dA°	I
6.41	$\frac{1}{2}$		
4.85	$\frac{1}{2}$		
3.21 }	$\frac{1}{2}$		
3.20 }	$\frac{1}{2}$		
3.21 }	10	3.225	9
3.20 }		3.06	4
3.07	4	2.85	10
2.94	$\frac{1}{2}$	2.225	4
2.85 }	8	2.05	$\frac{1}{2}$
2.84 }			
2.22 }	3		
2.22 }			
2.05	$\frac{1}{2}$		
1.904	$\frac{1}{2}$		
1.855 }	9	1.855	7
1.852 }		1.729	8
1.728	6		
1.727			
1.606 }	4	1.607	2
1.603 }			
1.589 }	5	1.586	3
1.587 }			
1.554 }	4	1.554	2
1.551 }			
1.424 }			
1.422 }	1	1.42	1
1.421 }			
1.347 }	$\frac{1}{2}$		
1.345 }			
1.264 }			
1.263 }	4	1.263	3
1.263 }			

φεύς οὗτος ἐπαρκεῖς πληροφορίας περὶ τοῦ τρόπου ἐμφανίσεως τοῦ ὀρυκτοῦ τούτου.

Κατὰ τὰ τελευταῖα ἔτη, δὲ βισμουθίνης ἀνεζητήθη ἐπιμόνως, τέλος δὲ ἐσημειώθη ἡ παρουσία του εἰς δεῖγμα προερχόμενον ἐκ τῶν ὑπογείων ἐργασιῶν τοῦ ἐπιπέδου 125 καὶ δὴ ἐκ τοῦ παρὰ τὸν γνεύσιον τμήματος τοῦ κοιτάσματος. Ἐπίσης, ἡ παρουσία τοῦ βισμουθίνου ἐσημειώθη εἰς δείγματα, ληφθέντα ἐκ τῶν πυργίνων γεωτρήσεων, αἵτινες ἐγένοντο εἰς τὴν μεταξὺ Βαθυλάκκου καὶ Σεβαλιέ περιοχήν. Εἰς τὴν περιοχὴν ταύτην καὶ εἰς βάθος μερικῶν δεκάδων μέτρων ὑπὸ τὴν ἐπιφάνειαν τῆς θαλάσσης, ἐπεσημάνθησαν μεταλλοφόροι συγκεντρώσεις, συνιστάμεναι, κυρίως, ἐκ σιδηροπυρίτου καὶ χαλκοπυρίτου. Αἱ συγκεντρώσεις αὗται ἀναπτύσσονται, κατὰ κύριον λόγον, ἐντὸς μαρμάρων καὶ κερατιτῶν (Skarn), ἡ συμμετοχὴ δὲ τοῦ βισμουθίου εἰς αὐτάς, ἐνδεχομένως, δὲν εἶναι ἀμελητέα. Πρόκειται, προφανῶς, περὶ σχηματισμῶν ὑψηλῆς σχετικῶς θερμοκρασίας, τῶν ὅποιων ἡ ἀκριβής σχέσις μετὰ τοῦ κοιτάσματος τοῦ Μαδέμ - Λάκκου δὲν ἔχει, ἐπὶ τοῦ παρόντος, διευκρινισθῇ.

‘Υπὸ τὸ μικροσκόπιον, δὲ βισμουθίνης παρουσιάζει χρῶμα λευκόν, ἐντονωτάτην ἀνισοτροπίαν καὶ πλεοχρωϊσμὸν εὐδιάκριτον ἔως ἀσθενῆ. Ἡ ἀνακλαστικὴ ἵκανότης του εὐρέθη διὰ τὸ λευκὸν φῶς κυμαινομένη ἀπὸ 43 % μέχρι 47 %, ἡ δὲ μικροσκληρότης του, κατὰ VICKERS, 96 - 130 εἰς φορτίον 50 g.

‘Ο Πίν. 4 δίδει τὰ ἀποτελέσματα τῆς ἀκτινογραφικῆς ἀναλύσεως τοῦ ὀρυκτοῦ τούτου, ὡς καὶ τὰς τιμὰς τὰς διδομένας δι’ αὐτὸν ὑπὸ τῆς A.S.T.M.

‘Ο βισμουθίνης συναντᾶται εἰς τὰς ἔξετασθείσας στιλπνὰς τομάς, κυρίως ὑπὸ τὴν μορφὴν συσσωματωμάτων ἐξ ἐπιμήκων κρυστάλλων, ἐπίσης ὑπὸ τὴν μορφὴν ἐγκλεισμάτων ἐντὸς χαλκοπυρίτου, γαληνίτου ἢ γαληνοβισμουθίνου. Τὰ ἐγκλείσματα ταῦτα ἔχουν, συνήθως, ἐπιμήκη πρισματικὴν ἢ ἀτρακτοειδῆ μορφήν.

#### Γαληνοβισμουθίνης ( $PbS_{Bi_2S_3}$ ).

‘Η παρουσία του ὀρυκτοῦ τούτου ἐσημειώθη εἰς τὰ αὐτὰ δείγματα, εἰς τὰ διποῖα συνηντήθη καὶ δὲ βισμουθίνης. Εύρεθη, κυρίως, εἰς κοκκώδη συσσωματώματα, ἀλλὰ καὶ εἰς ἐπιμήκεις πρισματικοὺς κρυστάλλους.

Τὸ χρῶμα του γαληνοβισμουθίνου εἶναι λευκόν, δμοιον σχεδὸν πρὸς τὸ τοῦ γαληνίτου. Ἡ ἀνακλαστικὴ ἵκανότης του διὰ τὸ λευκὸν φῶς, μετρηθεῖσα διὰ φωτοκυττάρου, εὐρέθη κυμαινομένη μεταξὺ 40 % καὶ 44 %, ἡ δὲ μικροσκληρότης τούτου, κατὰ VICKERS, εύρεθη 132 - 175 εἰς φορτίον 50 g. ‘Ο παρατηρηθεὶς πλεοχρωϊσμὸς εἶναι εὐδιάκριτος ἔως ἴσχυρός, ἡ δὲ ἀνισοτροπία ἐντονος.

Παρετηρήθη στενοτάτη σύνδεσις τοῦ γαληνοβισμουθίνου μετὰ τοῦ βισμου-

## Π Ι Ν Α Ξ 4

'Αποτελέσματα άκτινογραφικής άναλύσεως βισμουθίνου

Βισμούθινης A.S.T.M.		Βισμούθινης Κασσάνδρας	
dA°	I	dA°	I
5.65	20	5.65	20
5.04	19	5.04	20
3.97	38	3.97	40
3.75	20	3.75	15
3.56	94	3.55	100
3.53	60		
3.256	18	3.24	10
3.118	100	3.115	90
2.811	63	2.81	60
2.716	34	2.71	25
2.641	24	2.63	20
2.520	35	2.52	30
2.499	13		
2.456	15	2.455	5
2.304	24	2.30	15
2.256	36	2.25	25
2.129	9	2.12	10
2.118	15		
2.096	11	2.09	5
2.074	10	2.07	5
1.990	33	1.985	20
1.953	55	1.945	50
1.935	20	1.925	10
1.919	20	1.915	5
1.884	14	1.875	10
1.854	17	1.845	10
1.834	7	1.825	1
1.779	13		
1.765	5	1.755	1
1.737	7		
1.734	35	1.73	35

θίνου καὶ τοῦ γαληνίτου, μετὰ τοῦ τελευταίου δὲ τούτου σχηματίζει καὶ γραφικὰς συμφύσεις (Εἰκ. 1, 2). Τοιαύτας γραφικὰς συμφύσεις μεταξὺ γαληνίτου καὶ γαληνοβισμουθίνου περιγράφει καὶ δ. BERRY (6), αἱ μορφαὶ δὲ αὗται ὑποδεικνύουν ὅτι τὰ δύο ταῦτα ὀρυκτὰ εἶναι ἵκανὰ νὰ σχηματίσουν στερεὸν διάλυμα (solid solution) εἰς ὑψηλὰς θερμοκρασίας, ἀλλὰ ἀπομείγνυνται κατὰ τὴν ψῆψιν. Ὁφείλομεν νὰ σημειώσωμεν ὅτι διὰ τοῦ γαληνοβισμουθίνης εἶναι τὸ μόνον ὀρυκτὸν τοῦ βισμουθίου, τὸ δποῖον ἀναφέρεται (6, 13) ὡς σχηματίζον τοιαύτας μορφὰς ἀπομείξεως μετὰ τοῦ γαληνίτου. Ποσοτικὴ ἀνάλυσις τοῦ ὀρυκτοῦ τούτου, γενομένη διὰ τοῦ ἡλεκτρονικοῦ ἀναλυτοῦ, ἔδωσε τὰ ἀκόλουθα ἀποτελέσματα :

$$\text{Bi} = 54,8 \%$$

$$\text{Pb} = 29,7 \%$$

$$\text{Cu} = 0,2 \%$$

$$\text{S} = 15,9 \%$$

Ἐγκλείσματα βισμουθίνου ἐσημειώθησαν ἐντὸς τοῦ γαληνοβισμουθίνου, παρετηρήθησαν ἐπίσης ἐντὸς τούτου λεπτότατα ἐγκλείσματα ὑπὸ μορφῆν, κυρίως, γραφικῶν συμφύσεων ἐξ ἐνὸς ὀρυκτοῦ παρουσιάζοντος σαφῶς ὑψηλοτέραν ἀνακλαστικὴν ἵκανότητα ἐκ τῆς τοιαύτης τοῦ γαληνοβισμουθίνου καὶ τοῦ βισμουθίνου.

Ἐνδεχομένως, πρόκειται περὶ αὐτοφυοῦς βισμουθίου, τὸ μικρότατον, ὅμως, μέγεθος τῶν ἐν λόγῳ ἐγκλεισμάτων δὲν ἐπέτρεψε τὸν ὀρυκτολογικὸν προσδιορισμόν των, διὰ τῆς μετρήσεως τῶν φυσικῶν ἴδιοτήτων των.

Ἡ παρουσία τοῦ βισμουθίνου καὶ τοῦ γαληνοβισμουθίνου ἀποτελοῦν σαφεστάτας ἐνδείξεις περὶ τῆς ἐπικρατήσεως ὑψηλοτέρων θερμοκρασιῶν κατὰ τὸν χρόνον τῆς μεταλλογένεσεως εἰς τὰς περιοχάς, ἔνθα τὰ ὀρυκτὰ ταῦτα συμμετέχουν εἰς τὴν σύστασιν τοῦ μεταλλεύματος.

Ἐκ τῶν ἀνωτέρω ὀρυκτῶν διὰ τοῦ πυραργυρίτης, διὰ τοῦ γαληνοβισμουθίνης διὰ πρώτην φορὰν πιστοποιοῦνται ἐν Ἑλλάδι.

Λαμβανομένων ὑπὸ ὅψιν τῶν προσφάτως πιστοποιηθέντων ὀρυκτῶν, διὰ πλήρης κατάλογος τῶν οὖσιωδῶν καὶ ἐπουσιωδῶν μεταλλικῶν ὀρυκτῶν, ἄτινα συμμετέχουν εἰς τὴν σύστασιν τῶν κοιτασμάτων τῶν Μεταλλείων Κασσάνδρας, ἔχει ὡς ἀκολούθως : Σιδηροπυρίτης, σφαλερόπυρίτης, γαληνίτης, χαλκοπυρίτης, ἀρσενοπυρίτης, μαγνητοπυρίτης, μαρκαρίτης, τενναντίτης, βουρνονίτης, γεωκρονίτης, βουλανζερίτης, κουβανίτης, χαλκοσίνης, κοβελλίνης, μαγνητίτης, αίματίτης, χρυσὸς αὐτοφυῆς, πυραργυρίτης, σελιγμανίτης, ἐναργίτης, βισμουθίνης καὶ γαληνοβισμουθίνης.

Δυνάμεθα νὰ θεωρῶμεν βέβαιον, ὅτι καὶ ἔτερα δρυκτὰ θὰ ἔλθουν νὰ προστεθοῦν εἰς τὸν κατάλογον τοῦτον, τοσοῦτον μᾶλλον καθ' ὃσον ἡ ἐντατικὴ ἔρευνα καὶ ἐκμετάλλευσις συντόμως θὰ δόηγήσουν εἰς νέας περιοχὰς τῶν κοιτασμάτων καὶ δὴ εἰς βαθύτερα τμήματα τούτων.

Ἐνχαριστίαι ἐκφράζονται πρὸς τὴν A.E.E.X.P. & Λιπασμάτων διὰ τὴν ἄδειαν δημοσιεύσεως τῆς παρούσης ἐργασίας, ὡς καὶ εἰς τὴν Φιλλανδικὴν Ἐταιρίαν Outokumpu Oy, εἰς τὰ ἐργαστήρια τῆς ὧδης ἐγένοντο αἱ ἀκτινογραφικαὶ καὶ ἡλεκτρονικαὶ ἀναλύσεις, κατὰ τὴν εἰς Φιλλανδίαν μετάβασιν τοῦ συγγραφέως τὸν Μάϊον τοῦ 1967.

Ομοίως, ὁφείλονται εὐχαριστίαι εἰς τὸν καθηγητὴν τῆς Κοιτασματολογίας τοῦ Πανεπιστημίου Ἀθηνῶν κ. Γεώργιον Παρασκευόπουλον, ὅστις διεξῆλθε τὰ χειρόγραφα τῆς ἐργασίας ταύτης.

#### S U M M A R Y

A fairly complete description of the geological and petrographic conditions characteristic of the sulphide ore deposits of Kassandra Mines in eastern Chalkidiki was given in earlier publications (**10, 12**).

These ore deposits have already been studied with regard to mineralogy and micrography (**11**).

The examination of polished sections from recently explored areas of the Madem-Lakkos orebody has revealed the existence of the following minerals: Pyrargyrite, seligmannite, enargite, bismuthinite (mentioned also by Neubauer) and galenobismutite.

The above minerals have been identified by X-ray or electron probe analyses. Measurements concerning the reflectivity and microhardness of these minerals have also been made and are given in the following table:

	Reflectivity, white light in air	Vickers microhardness at 50 g. load
Pyrargyrite . . .	28.6 - 29.8 %	64 - 122
Seligmannite . . .	33.4 - 34.8 %	185 - 215
Enargite . . .	26.5 - 29 %	143 - 338
Bismuthinite . .	43 - 47 %	96 - 130
Galenobismutite .	40 - 44 %	132 - 170

The presence of bismuthinite and galenobismutite provides strong evidence that high temperatures prevailed during the deposition period in those areas in which the minerals in question participate in the composition of the ore.

It should be noted that the pyrargyrite, seligmannite and galenobismutite were identified for the first time in Greece.

Taking into account the minerals recently identified the list of ore minerals both chief and minor, which participate in the composition of the Kassandra ore reads as follows: pyrite, sphalerite, galena, chalcopyrite, arsenopyrite, pyrrhotite, marcasite, tennantite, bournonite, geocronite, boulangerite, cubanite, chalcocite, covellite, magnetite, hematite, native gold, pyrargyrite, seligmannite, enargite, bismuthinite, galenobismutite.

It can be said with reasonable certainty, that other minerals will be added to the above list as intensive exploration and exploitation will shortly lead to new and deeper areas of the orebodies.

#### B I B L I O G R A P H I A

1. A.S.T.M.—X-ray Powder Data. *Spec. Techn. Publ.*, **48**, Washington, 1960.
2. BERRY, L. C. and THOMPSON, R. M.—X-Ray Powder data for Ore Minerals: The Peacock Atlas. *Geol. Soc. U.S.A. Memoir*, **85**, 1962.
3. BOWIE, S. and TAYLOR, K.—A system of ore mineral identification *Mining Magazine*, Vol. **96**, 1958. pp. 265 - 267, 337 - 345.
4. CAMERON, E.—Ore microscopy. John Wiley, New York, London, 1961.
5. DANA.—The system of meralogy. New York, 1961.
6. EDWARDS, B. A.—Textures of the ore minerals. *The Australasian Institution of Mining and Metallurgy*, Melbourne, 1954.
7. FOLINSBEE, R. E.—Determination of the reflectivity of the ore minerals: *Econ. Geol.*, V. **44**, No. 5, pp. 425 - 436, 1949.
8. GRAY, I. and MILLMAN, A.—Reflection characteristics of ore minerals. *Econ. Geol.*, V. **57**, 1962, pp. 325 - 349.
9. HAROURT, G. A.—Tables for the identification of ore minerals by X-ray powder patterns. *Amer. Miner.*, V. **27**, No. 2, p. 63 - 113, 1942.
10. NEUBAUER, W. H.—Geologie der blei-zinkreichen Kieslagerstätten von Kassandra (Chalkidike, Griechenland) *Berg- und Hüttenmännische Monatshefte*, Heft  $\frac{1}{2}$ , 1957.

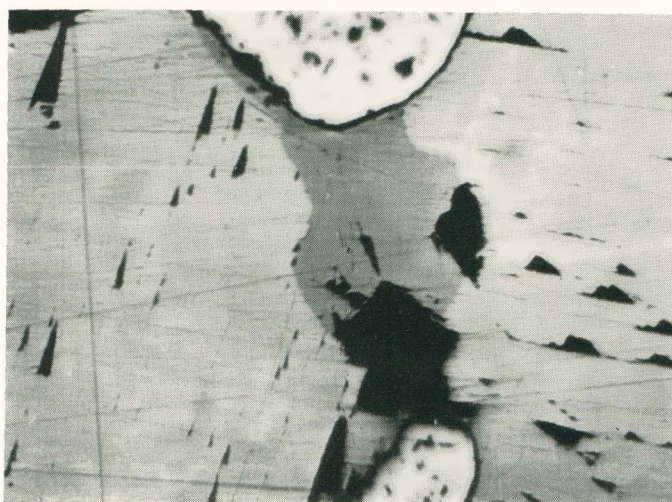
ΜΙΧΑΗΛ ΝΙΚΟΛΑΟΥ.— ΝΕΩΤΕΡΑΙ ΕΡΕΥΝΑΙ ΕΠΙ ΤΗΣ ΣΥΣΤΑΣΕΩΣ ΤΩΝ ΚΟΤΙΑΣΜΑΤΩΝ  
ΤΗΣ ΚΑΣΣΑΝΔΡΑΣ



Εἰκ. 1.



Εἰκ. 2.



Εἰκ. 3.